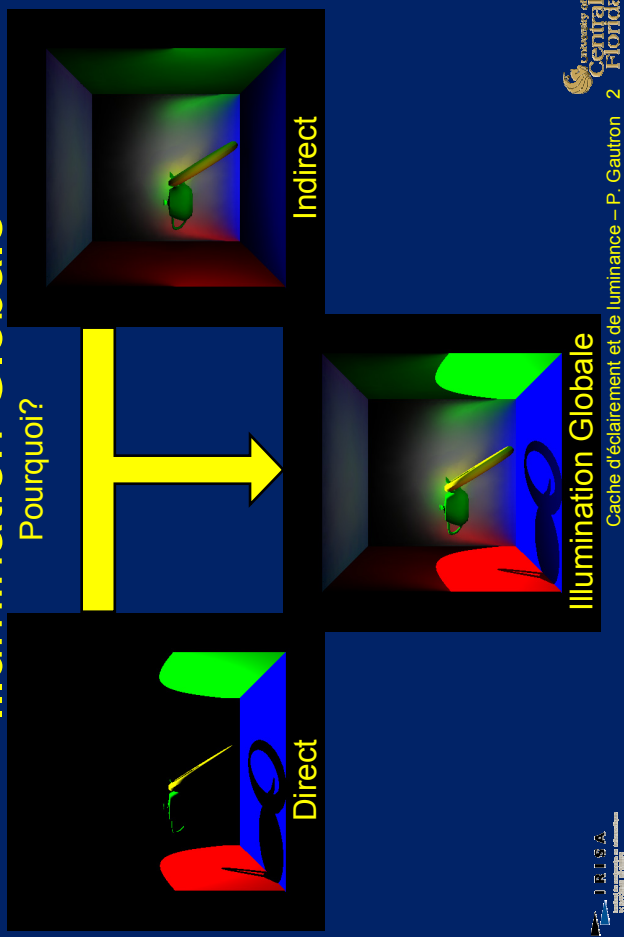


# Illumination Globale

Pourquoi?

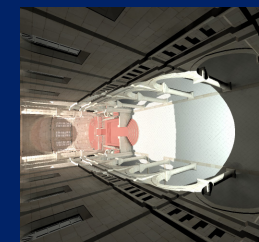
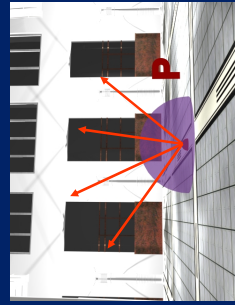


# Illumination Globale

Comment?

$$L_o(P, \omega_o) = \int L_i(P, \omega_i) * BRDF(\omega_o, \omega_i) * \cos(\theta) d\omega_i$$

Pas de solution analytique



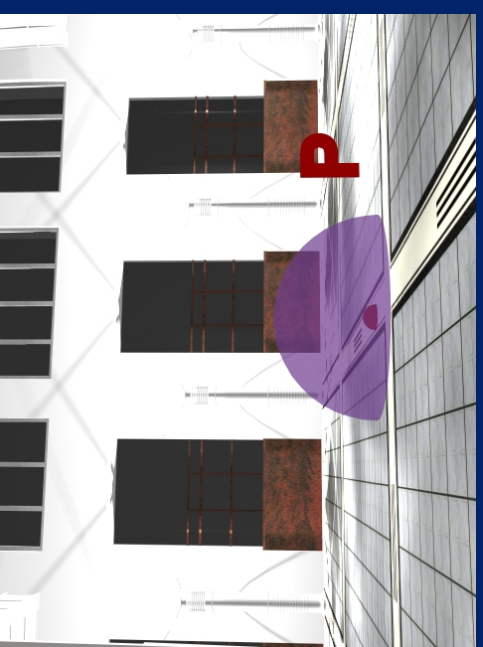
# Eclairage Global Par Cache d'Eclairement et de Luminance



P. Gautron

# Illumination Globale

Comment?



# Plan

Méthodes de calcul d'illumination globale

Cache d'éclairage (Irradiance Caching)

Cache de luminance (Radiance Caching)

Quelques images...

Conclusion

Problèmes ouverts

# Plan

Méthodes de calcul d'illumination globale

Cache d'éclairage (Irradiance Caching)

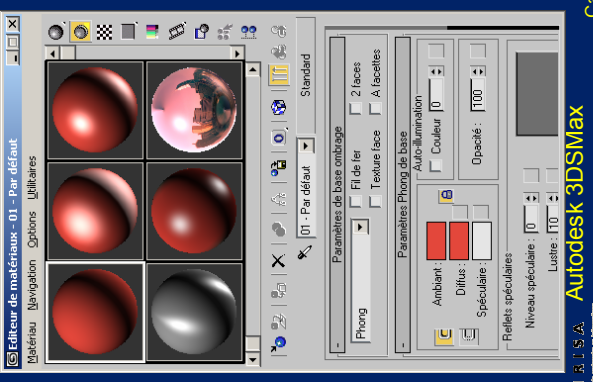
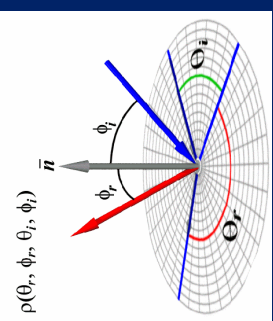
Cache de luminance (Radiance Caching)

Quelques images...

Conclusion

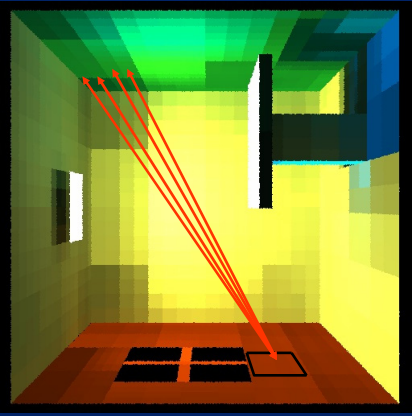
Problèmes ouverts

# BRDF



# Radioactivité

Modelling the interaction of light between diffuse surfaces  
Goral et al., SIGGRAPH 1984



Méthode par éléments finis

→ Discrétisation des surfaces

Echanges énergétiques entre  
éléments de surface 2 à 2

Possibilité de stockage du résultat  
dans des textures d'illumination  
(Light Maps)

# Radiosité

Modeling the interaction of light between diffuse surfaces  
Goral et al., SIGGRAPH 1984



Bonne qualité  
Rendu final rapide

Temps de calcul  
Discrétisation  
Limité aux surfaces diffuses



Realistic Image Synthesis using Photon Mapping  
H.W. Jensen, A.K. Peters ed., 2001



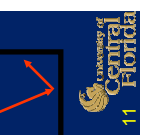
# Suivi de lumière

Realistic Image Synthesis using Photon Mapping  
H.W. Jensen, A.K. Peters ed., 2001

Méthode stochastique



Monte Carlo  
Passe 1:  
- Tracé du chemin  
lumineux depuis les sources



Realistic Image Synthesis using Photon Mapping  
H.W. Jensen, A.K. Peters ed., 2001

# Suivi de lumière

Realistic Image Synthesis using Photon Mapping  
H.W. Jensen, A.K. Peters ed., 2001

Méthode stochastique



Monte Carlo  
Passe 1:  
- Tracé du chemin  
lumineux depuis les sources  
- Stockage des impacts dans  
un kD-Tree



Realistic Image Synthesis using Photon Mapping  
H.W. Jensen, A.K. Peters ed., 2001

# Suivi de lumière

Realistic Image Synthesis using Photon Mapping  
H.W. Jensen, A.K. Peters ed., 2001

Méthode stochastique



Monte Carlo  
Passe 2: Reconstruction  
de l'éclairage  
Cache d'éclairement et de luminance – P. Gautron 13



Realistic Image Synthesis using Photon Mapping  
H.W. Jensen, A.K. Peters ed., 2001



# Suivi de lumière

Realistic Image Synthesis using Photon Mapping  
H.W. Jensen, A.K. Peters ed., 2001

Méthode stochastique



Monte Carlo  
Passe 1:  
- Tracé du chemin  
lumineux depuis les sources  
- Stockage des impacts dans  
un kD-Tree



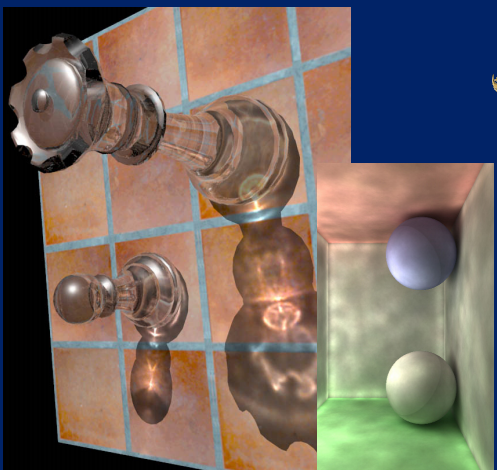
Realistic Image Synthesis using Photon Mapping  
H.W. Jensen, A.K. Peters ed., 2001



# Suivi de lumière

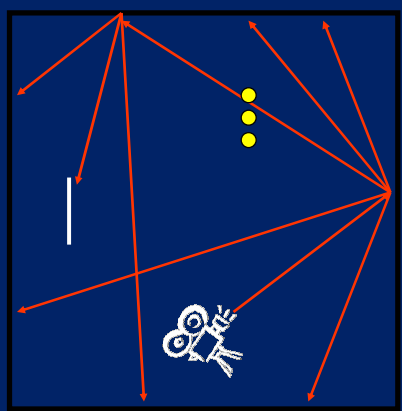
Realistic Image Synthesis using Photon Mapping  
H.W. Jensen, A.K. Peters ed., 2001

- Généricité (phénomènes représentables)
- Implémentation simple
- Temps de calcul
- Sous échantillonnage
- Limité aux surfaces diffuses ou parfaitement spéculaires



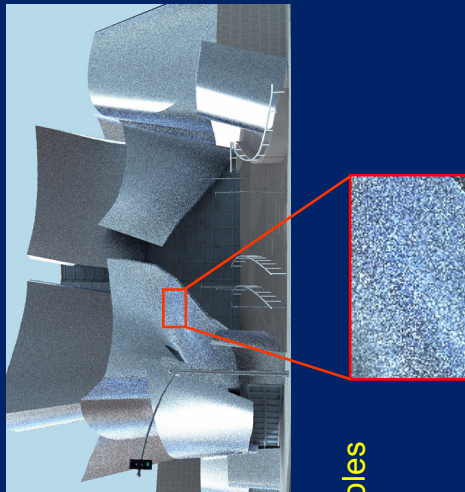
# Suivi de chemins

- Méthode stochastique
- Monte Carlo
- Tracé du chemin lumineux inverse (depuis la caméra)

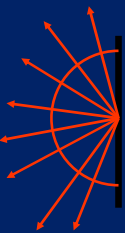


# Suivi de chemins

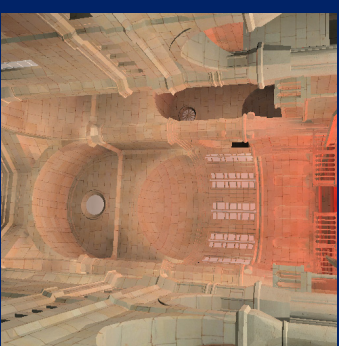
- Généricité (BRDFs utilisables)
- Implémentation simple
- Temps de calcul
- Sous échantillonnage
- Certains phénomènes difficilement représentables



## Observations



Complexité du calcul d'éclairage indirect



L'éclairage indirect change graduellement

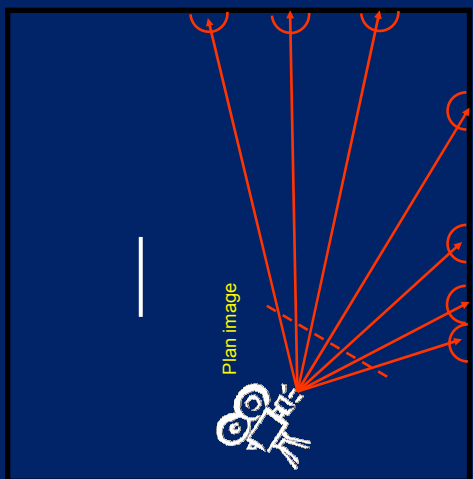


Cache d'éclairage et de luminance – P. Gautron 18

J R I S A  
Institut de recherche en informatique et automatique

## Principe

Basé sur le suivi de chemins



Suivi de chemin classique

Cache d'éclairage et de luminance – P. Gautron 19

J R I S A  
Institut de recherche en informatique et automatique

## Principe

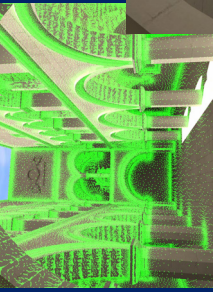
Basé sur le suivi de chemins

## Principe

Calcul épars de l'éclairage indirect

Interpolation

Rendu haute qualité rapide



Cache d'éclairage et de luminance – P. Gautron 21

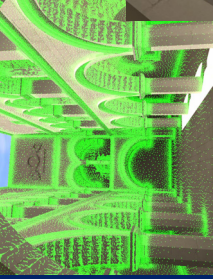
J R I S A  
Institut de recherche en informatique et automatique

## Principe

Basé sur le suivi de chemins

Calcul épars de l'éclairage indirect

Interpolation



Cache d'éclairage et de luminance – P. Gautron 21

J R I S A  
Institut de recherche en informatique et automatique

## Principe

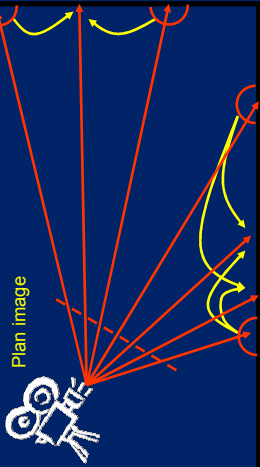
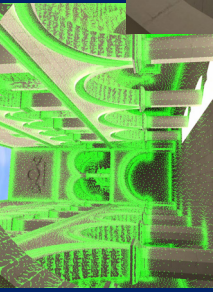
Basé sur le suivi de chemins

## Principe

Calcul épars de l'éclairage indirect

Interpolation

Rendu haute qualité rapide



Irradiance Caching  
Cache d'éclairage et de luminance – P. Gautron 20

J R I S A  
Institut de recherche en informatique et automatique

# Plan

Méthodes de calcul d'illumination globale

**Cache d'éclairage (Irradiance Caching)**

Calcul et zone d'utilisation d'un enregistrement

Interpolation

Extrapolation par gradients

Algorithme final

Cache de luminance (Radiance Caching)

Quelques images...

Conclusion

Problèmes ouverts

# Plan

Méthodes de calcul d'illumination globale

**Cache d'éclairage (Irradiance Caching)**

Calcul et zone d'utilisation d'un enregistrement

Interpolation

Extrapolation par gradients

Algorithme final

Cache de luminance (Radiance Caching)

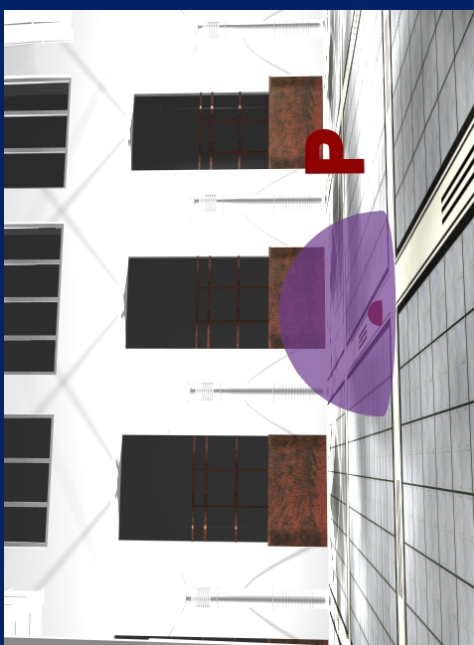
Quelques images...

Conclusion

Problèmes ouverts

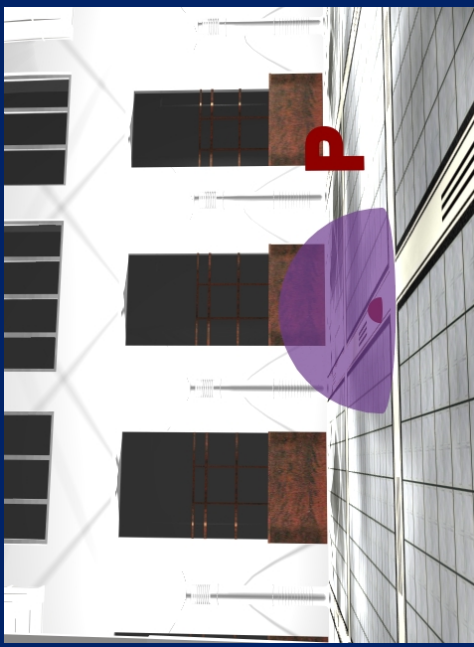
# Calcul d'un enregistrement

Cas général



# Calcul d'un enregistrement

Interréflections diffuses



## Calcul d'un enregistrement

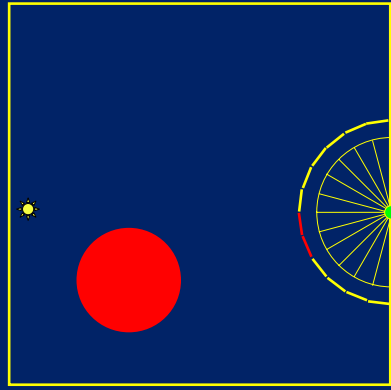
Interreflections diffuses

$$L_o(P, \omega_o) = \rho_d \int L_i(P, \omega_i) * \cos(\theta) d\omega_i$$

$$\rightarrow L_o(P) = \rho_d E_i(P)$$

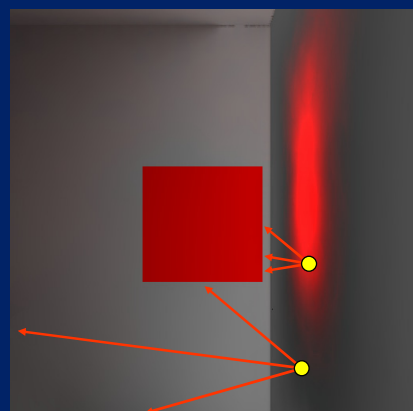
## Calcul d'un enregistrement

En pratique



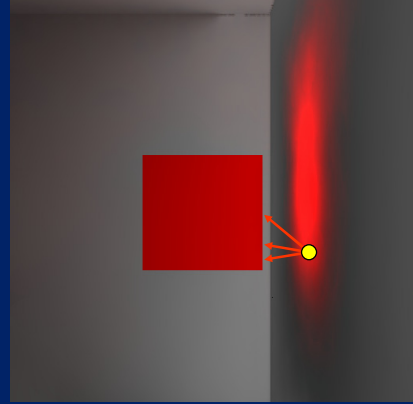
Echantillonnage stratifié

## Calcul d'un enregistrement



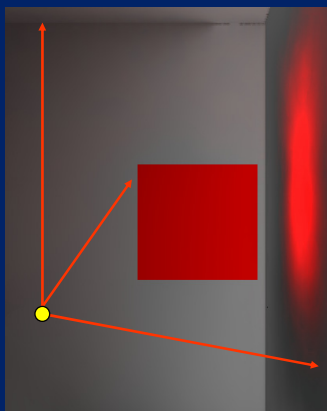
## Zone d'utilisation

Observation :  
L'éclairage indirect change +/- vite



## Zone d'utilisation

Observation :  
L'éclairage indirect change +/- vite



Objets lointains = changement lent

## Zone d'utilisation

Observation :  
L'éclairage indirect change +/- vite

Consequence :  
Il est nécessaire d'adapter la densité de l'échantillonnage

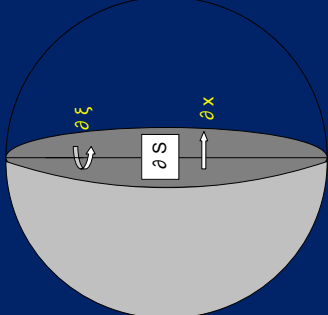
Quantitatif

Idee :  
Estimer le taux de changement de l'éclairage dans le voisinage

Calculer une borne supérieure

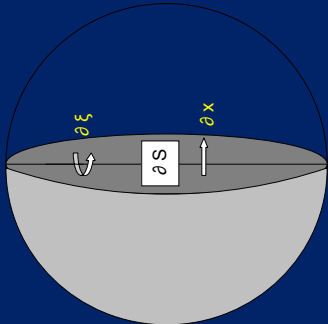
## Zone d'utilisation

Modèle "split sphere"



## Zone d'utilisation

Modèle "split sphere"



$$\varepsilon \leq \left| \frac{\partial E}{\partial x} (x - x_0) + \frac{\partial E}{\partial \xi} (\xi - \xi_0) \right|$$

position orientation

# Zone d'utilisation

Fonction de pondération

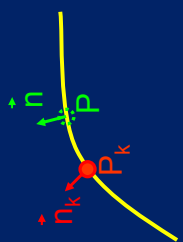


$$w_k(P) = \frac{1}{\frac{\|P-P_k\|}{R_k} + \sqrt{1-n \cdot n_k}} > 1/a$$

Distance  
Divergence des normales

# Zone d'utilisation

Fonction de pondération

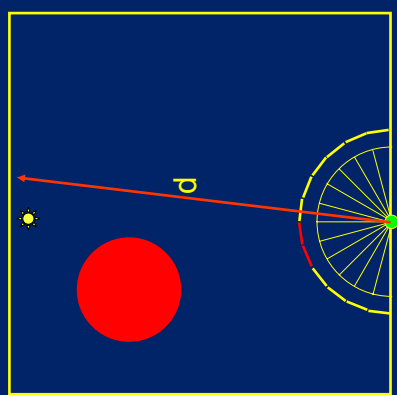


$$w_k(P) = \frac{1}{\frac{\|P-P_k\|}{R_k} + \sqrt{1-n \cdot n_k}} > 1/a$$

Moyenne harmonique des distances des points visibles depuis  $P_k$

# Zone d'utilisation

En pratique



Echantillonnage stratifié

# Plan

Méthodes de calcul d'illumination globale

Cache d'éclaircissement (Irradiance Caching)

Calcul et zone d'utilisation d'un enregistrement

Interpolation

Extrapolation par gradients

Algorithme final

Cache de luminance (Radiance Caching)

Quelques images...

Conclusion

Problèmes ouverts

# Interpolation

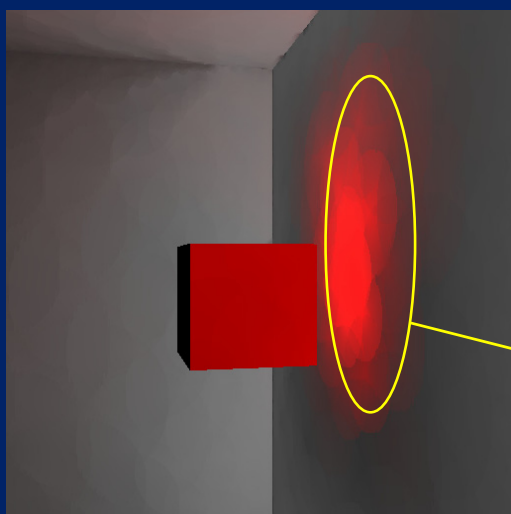
## Interpolation



$$E(P) = \frac{\sum_{k \in S} E_k w_k(P)}{\sum_{k \in S} w_k(P)}$$

$$S = \{ k / w_k(P) > 1/a \}$$

# Interpolation



Éclairage constant dans la zone d'utilisation

## Stockage des enregistrements dans un arbre octal (octree)

En pratique

Rendu : requêtes dans l'octree

# Plan

Méthodes de calcul d'illumination globale

Cache d'éclairage (Irradiance Caching)

Calcul et zone d'utilisation d'un enregistrement

Interpolation

Extrapolation par gradients

Algorithme final

Cache de luminance (Radiance Caching)

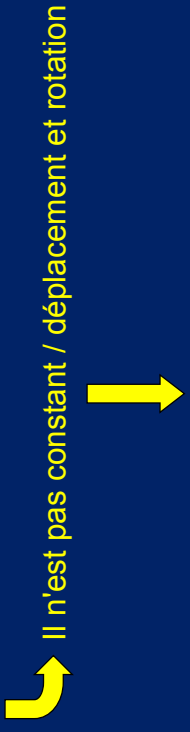
Quelques images...

Conclusion

Problèmes ouverts

# Gradients

Observation :  
L'éclairage indirect change graduellement



Simple interpolation insuffisante

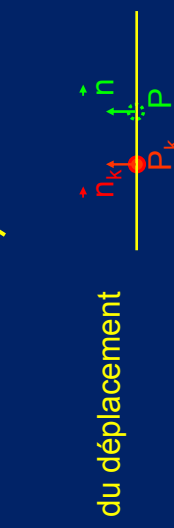
Qualitatif

Idée : Estimer le changement de l'éclairage dans le voisinage



# Gradients

Calculer le changement en fonction

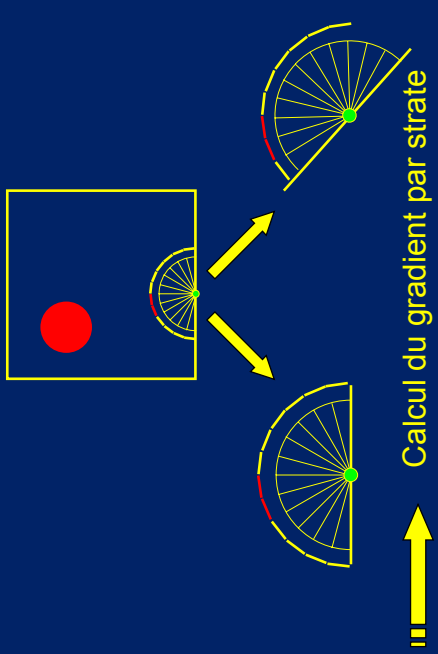


de la rotation

du déplacement

# Gradient de rotation

Quel est le changement d'éclairage si on pivote la surface ?



# Gradient de rotation

$$\vec{\nabla} f = \frac{\partial f}{\partial r} \vec{1}_r + \frac{1}{r \sin \phi} \frac{\partial f}{\partial \phi} \vec{1}_\phi + \frac{1}{r} \frac{\partial f}{\partial \theta} \vec{1}_\theta$$

# Gradient de rotation

Simplifications

$$\vec{\nabla}_r f = \underbrace{\frac{\partial f}{\partial r} \vec{1}_r}_{0} + \frac{1}{r \sin \phi} \underbrace{\frac{\partial f}{\partial \phi} \vec{1}_\phi}_{0} + \frac{1}{r} \frac{\partial f}{\partial \theta} \vec{1}_\theta$$

E indépendant de  $r$

Choix arbitraire :  $r = 1$

# Gradient de rotation

Simplifications

$$\vec{\nabla}_r f = \frac{\partial f}{\partial \theta} \vec{1}_\theta$$

$$\vec{\nabla}_E = \frac{\partial E}{\partial \theta} \vec{1}_\theta$$

$E$  obtenu par Monte Carlo  
(échantillonnage uniforme du cosinus)

# Gradient de rotation

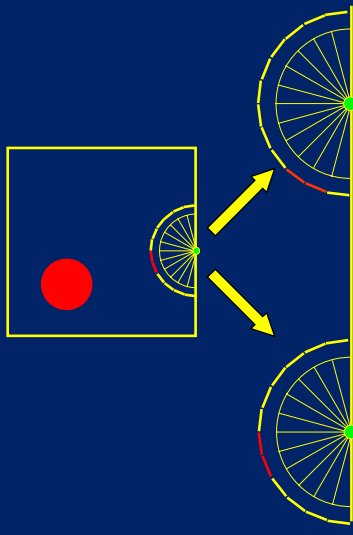
$$E = \frac{\pi}{MN} \sum_{j=0}^{M-1} \sum_{k=0}^{N-1} \tilde{L}_{jk} \cos \theta_j$$

$$\begin{aligned} \vec{\nabla}_E &= \frac{\partial E}{\partial \theta} \vec{1}_\theta = \frac{\pi}{MN} \sum_{j=0}^{M-1} \sum_{k=0}^{N-1} -\tilde{L}_{jk} \sin \theta_j \vec{1}_{\theta j k} \\ &= \frac{\pi}{MN} \sum_{j=0}^{M-1} \sum_{k=0}^{N-1} -\tilde{L}_{jk} \frac{\sin \theta_j}{\cos \theta_j} \vec{1}_{\theta j k} \\ &= \frac{\pi}{MN} \sum_{j=0}^{M-1} \sum_{k=0}^{N-1} -\tilde{L}_{jk} \tan \theta_j \vec{1}_{\theta j k} \end{aligned}$$

avec  $\vec{1}_{\theta j k}$  = vecteur du plan pointant dans la direction  $\Phi_k + \pi/2$

# Gradient de translation

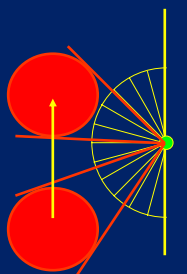
Improved Radiance Gradient Computation  
Khvánek et al., SCCG 2005



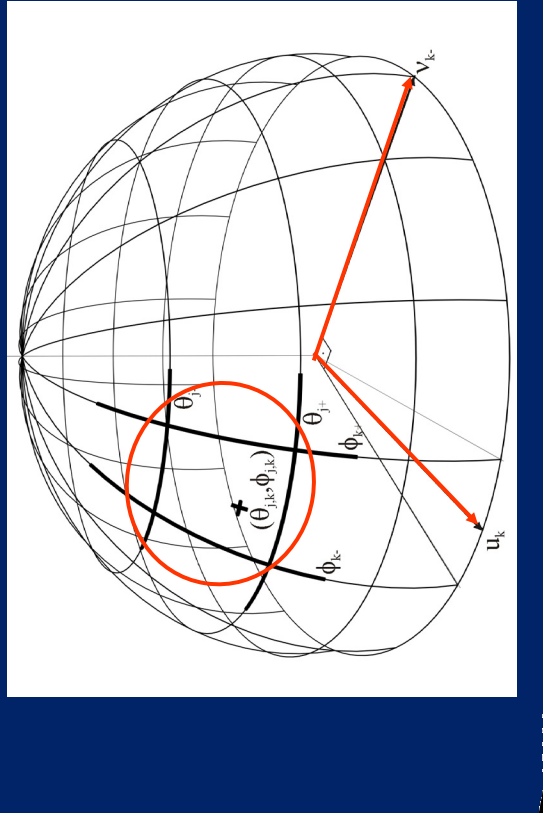
## Gradient de translation

Problème :  
Vitesse de changement  
dépend de la distance

➡ Adapté à chaque strate



## Calcul pour une strate

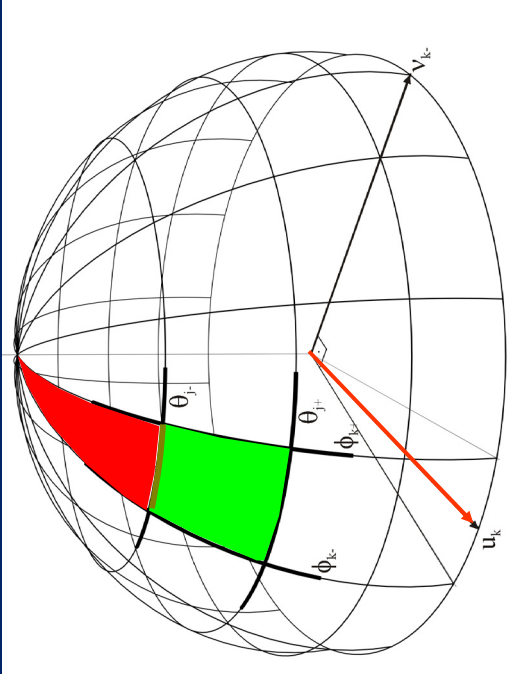


## Calcul pour une strate

Mouvement des parois : changement d'aire  
Changement angle solide : changement angle solide

Changement d'aire : changement angle incident  
Changement angle solide : changement angle solide

## Calcul pour une strate



## Gradient de translation

Sommation des changements

Fonction de pondération : ici  $H_l^m = \cos$

$$\vec{\nabla} \lambda_l^m = \sum_{k=0}^{N-1} \left[ \hat{u}_k \frac{2\pi}{N} \sum_{j=1}^{M-1} \frac{\cos \theta_{j_-} \sin \theta_{j_-}}{\min\{r_{j,k}, r_{j-1,k}\}} (L_{j,k}^i - L_{j-1,k}^i) H_l^m(\theta_{j,k}, \phi_{j,k}) + \right.$$

$$\left. \hat{v}_k \frac{1}{M} \sum_{j=0}^{M-1} \frac{1}{\sin \theta_{j,k} \min\{r_{j,k}, r_{j,k-1}\}} (L_{j,k}^i - L_{j,k-1}^i) H_l^m(\theta_{j,k}, \phi_{j,k}) \right],$$

## Gradient de translation

Sommation des changements

Fonction de pondération : ici  $H_l^m = \cos$

$$\vec{\nabla} \lambda_l^m = \sum_{k=0}^{N-1} \left[ \hat{u}_k \frac{2\pi}{N} \sum_{j=1}^{M-1} \frac{\cos \theta_{j_-} \sin \theta_{j_-}}{\min\{r_{j,k}, r_{j-1,k}\}} (L_{j,k}^i - L_{j-1,k}^i) H_l^m(\theta_{j,k}, \phi_{j,k}) + \right.$$

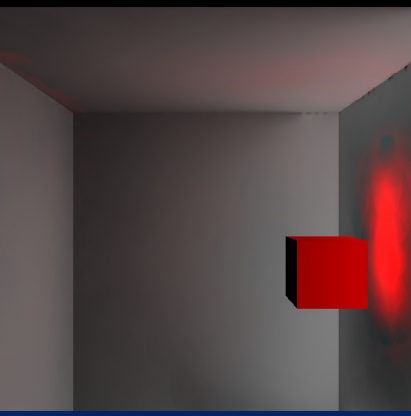
$$\left. \hat{v}_k \frac{1}{M} \sum_{j=0}^{M-1} \frac{1}{\sin \theta_{j,k} \min\{r_{j,k}, r_{j,k-1}\}} (L_{j,k}^i - L_{j,k-1}^i) H_l^m(\theta_{j,k}, \phi_{j,k}) \right],$$

Changement d'aire

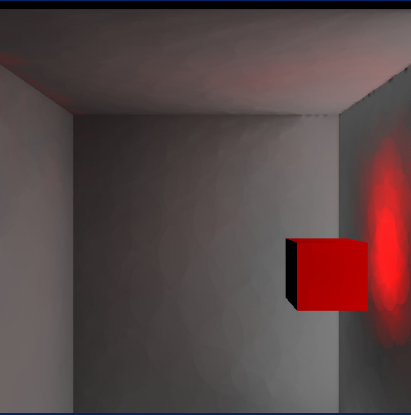
Changement de  
luminance incidente

Cache d'éclairage et de luminance – P. Gautron 55

## Interpolation par gradients



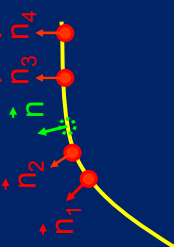
Avec



Sans

## Interpolation par gradients

$$E(P) = \frac{\sum_{k \in S} \overbrace{\left[ E_k + (\vec{n}_k \times \vec{n}) \vec{\nabla}_r E_k + \vec{D} \vec{\nabla}_t E_k \right]}^E w_k(P)}{\sum_{k \in S} w_k(P)}$$



$$S = \{ k / w_k(P) > 1/\alpha \}$$

# Plan

Méthodes de calcul d'illumination globale

**Cache d'éclairage (Irradiance Caching)**

Calcul et zone d'utilisation d'un enregistrement

Interpolation

Extrapolation par gradients

Algorithme final

Cache de luminance (Radiance Caching)

Quelques images...

Conclusion

Problèmes ouverts

# Irradiance Caching

Pour chaque pixel  $(i, j)$  de l'image

Calculer le point visible par  $(i, j)$   
Requête dans l'octree: peut-on interpoler?

si oui

Renvoyer la valeur **interpolée**

sinon

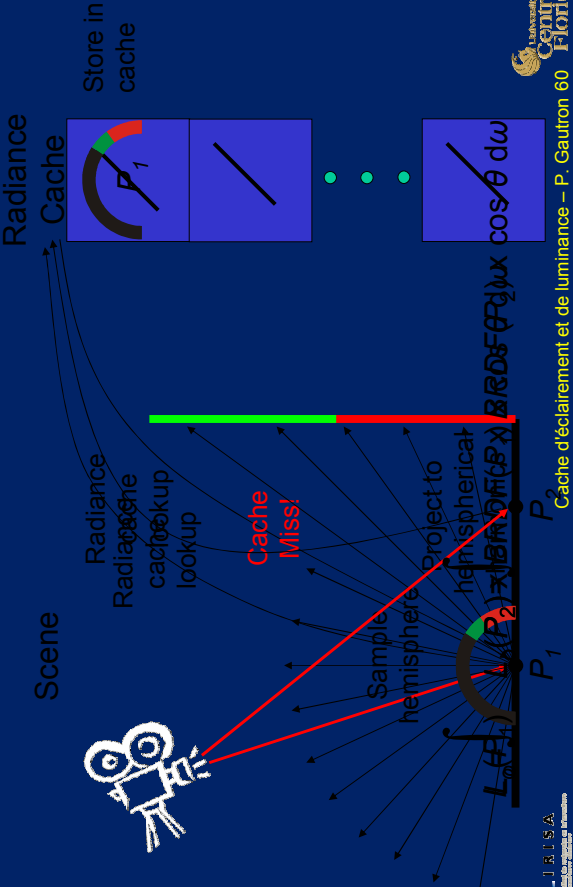
Calculer un nouvel enregistrement  
Stocker l'enregistrement dans l'octree

Renvoyer la valeur **calculée**

Fin si

Fin pour

# Radiance Caching



# Plan

Méthodes de calcul d'illumination globale

Cache d'éclairage (Irradiance Caching)

Cache de luminance (Radiance Caching)

Quelques images...

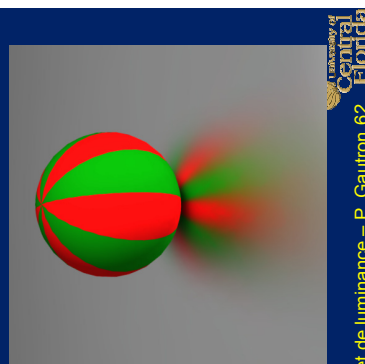
Conclusion

Problèmes ouverts

## Observations

Irradiance Caching limité aux interreflections diffuses

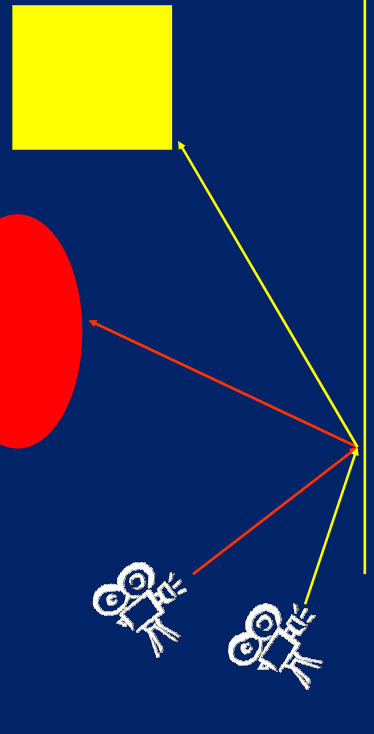
Composante non diffuse calculée par path tracing classique



Université de Central Florida  
Cache d'éclairage et de luminance – P. Gautron 62

IRISA  
Institut de recherche en informatique et automatique

## Vers le spéculaire



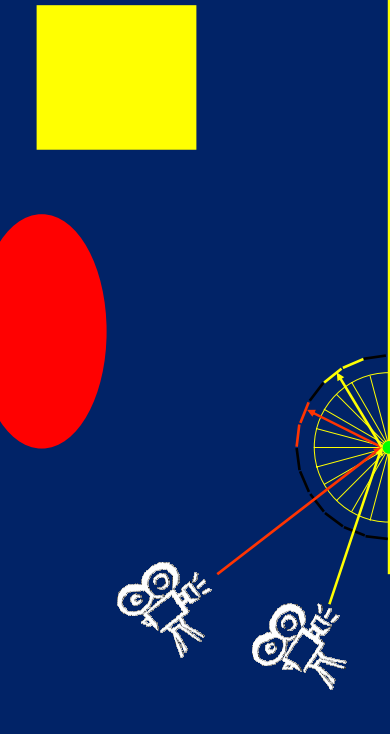
Dépendance du point de vue

Représentation directionnelle de la luminance incidente

Université de Central Florida  
Cache d'éclairage et de luminance – P. Gautron 63

IRISA  
Institut de recherche en informatique et automatique

## Vers le spéculaire



Fonction de luminance incidente  
Variable pour tout point de vue

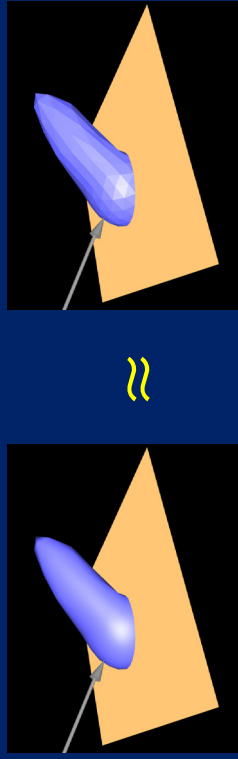
Université de Central Florida  
Cache d'éclairage et de luminance – P. Gautron 64

IRISA  
Institut de recherche en informatique et automatique

Université de Central Florida  
Cache d'éclairage et de luminance – P. Gautron 65

IRISA  
Institut de recherche en informatique et automatique

## Fonction hémisphérique



Fonction d'origine  
↓ Approx. Linéaire par morceaux

Besoin d'une meilleure méthode  
↓

Meilleure approximation

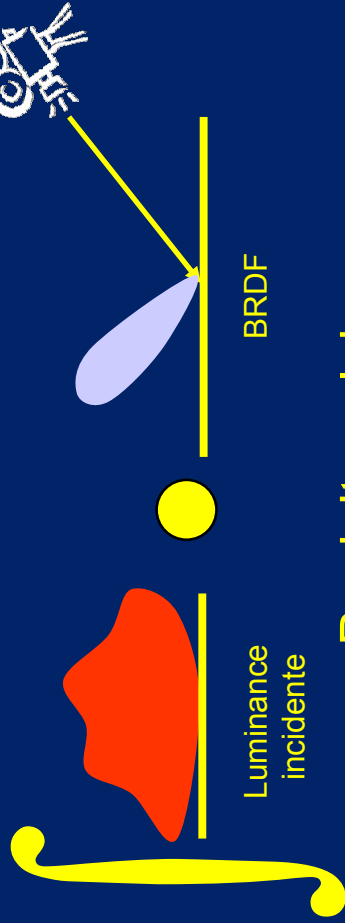
## Rappel : polynômes orthogonaux

$$f(x) = f_i \cdot b_i(x)$$

$$g(x) = g_i \cdot b_i(x)$$

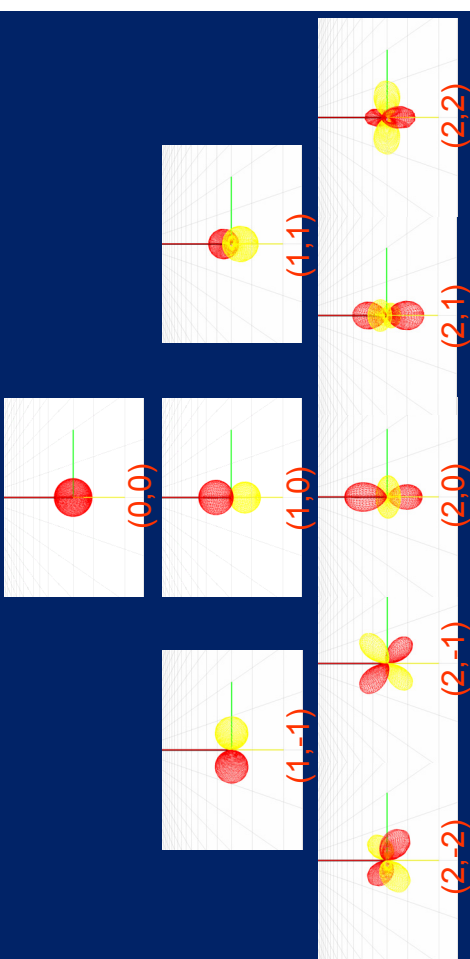
$$\int f(x)g(x)dx = f_i \cdot g_i$$

## Application à l'illumination globale



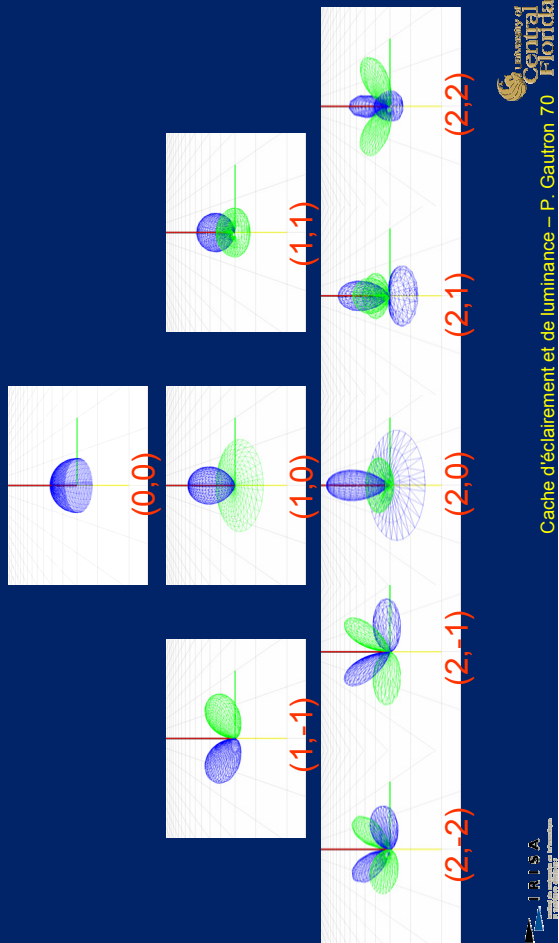
≡ Produit scalaire

## Harmoniques sphériques



# Harmoniques hémisphériques

A Novel Hemispherical Basis for Accurate and Efficient Rendering  
Gautron et al., EGSR 04



IRISA  
Institut de Recherche en Informatique et Systèmes Aléatoires

University of Central Florida

IRISA  
Institut de Recherche en Informatique et Systèmes Aléatoires

# Harmoniques hémisphériques

A Novel Hemispherical Basis for Accurate and Efficient Rendering  
Gautron et al., EGSR 04

Harmoniques sphériques

$$Y_l^m(\theta, \phi) = K_l^m \Phi_l^m(\phi) P_l^m(\cos \theta)$$

Harmoniques hémisphériques

$$H_l^m(\theta, \phi) = \tilde{K}_l^m \Phi_l^m(\phi) P_l^m(2\cos \theta - 1)$$

avec

$$K_l^m = \sqrt{\frac{(2l+1)(-|m|)!}{4\pi(|+m|)!}}$$

$$\Phi_l^m(\phi) = \begin{cases} \sqrt{2} \cos(m\phi) & \text{si } m > 0 \\ \sqrt{2} \sin(-m\phi) & \text{si } m < 0 \\ 1 & \text{si } m = 0 \end{cases}$$

IRISA  
Institut de Recherche en Informatique et Systèmes Aléatoires

University of Central Florida

IRISA  
Institut de Recherche en Informatique et Systèmes Aléatoires

# Harmoniques (hémisphériques)

Harmoniques sphériques

$$Y_l^m(\theta, \phi) = K_l^m \Phi_l^m(\phi) P_l^m(\cos \theta)$$

Harmoniques hémisphériques

$$H_l^m(\theta, \phi) = \tilde{K}_l^m \Phi_l^m(\phi) P_l^m(2\cos \theta - 1)$$

avec

$$K_l^m = \sqrt{\frac{(2l+1)(-|m|)!}{4\pi(|+m|)!}}$$

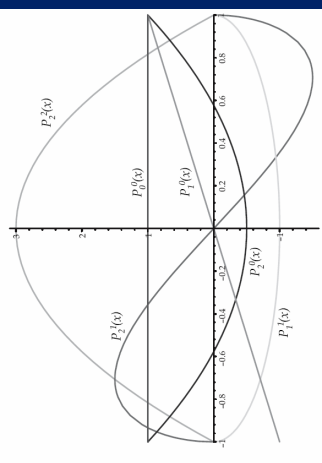
$$\Phi_l^m(\phi) = \begin{cases} \sqrt{2} \cos(m\phi) & \text{si } m > 0 \\ \sqrt{2} \sin(-m\phi) & \text{si } m < 0 \\ 1 & \text{si } m = 0 \end{cases}$$

IRISA  
Institut de Recherche en Informatique et Systèmes Aléatoires

University of Central Florida

IRISA  
Institut de Recherche en Informatique et Systèmes Aléatoires

# Polynôme de Legendre "associé"



IRISA  
Institut de Recherche en Informatique et Systèmes Aléatoires

$$(l-m)P_l^m(x) = x(2l-1)P_{l-1}^m(x) - (l+m-1)P_{l-2}^m(x)$$

$$P_m^m(x) = (-1)^m (2m-1)!! (1-x^2)^{m/2}$$

$$P_{m+1}^m(x) = x(2m+1)P_m^m(x)$$

IRISA  
Institut de Recherche en Informatique et Systèmes Aléatoires

University of Central Florida

IRISA  
Institut de Recherche en Informatique et Systèmes Aléatoires

# Harmoniques (hémisphériques)

Avantages:

Simplicité d'utilisation

Compactité de la représentation

Possibilité de rotation

Inconvénient:

Limité aux basses fréquences

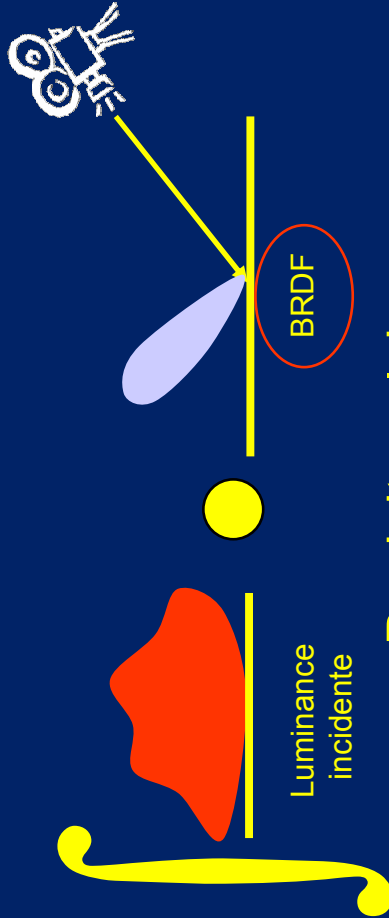
IRISA  
Institut de Recherche en Informatique et Systèmes Aléatoires

University of Central Florida

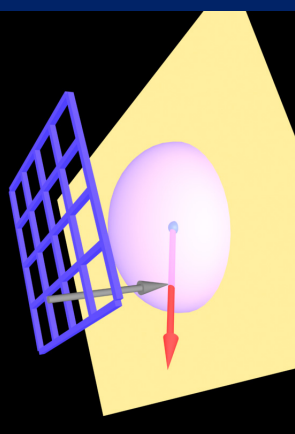
IRISA  
Institut de Recherche en Informatique et Systèmes Aléatoires

## Harmoniques (hémi)sphériques

## Radiance Caching

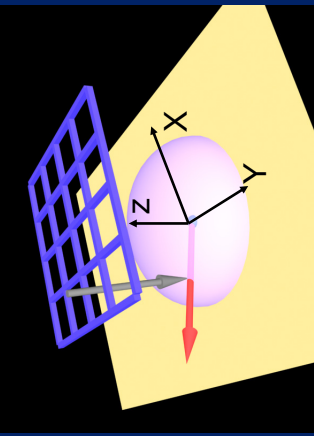


BRDF = Fonction 4D  
Paramétrisation parabolique



## Représentation des BRDF

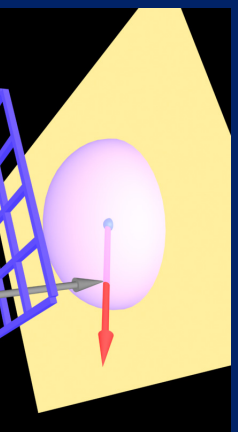
## Représentation des BRDF



$$\begin{aligned}f(x,y) &= (1/2)(1+x^2+y^2), \quad x^2+y^2 \leq 1 \\x &= x \quad \quad \quad y = y \\x &= (1/2)(1+x/(z+1)) \\y &= (1/2)(1+y/(z+1))\end{aligned}$$

## Représentation des BRDF

Représentation Adaptive  
Pourquoi?



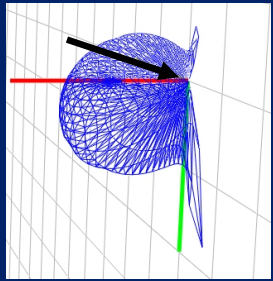
Pour chaque direction discrétisée, calcul des coefficients

$$f_l^m(\omega_o) = \int f_r(\omega_o, \omega_i) B_l^m(\omega_i) d\omega_i$$

Monte Carlo

Cache d'éclairage et de luminance – P. Gautron 78  
IRISA Institut universitaire de technologie

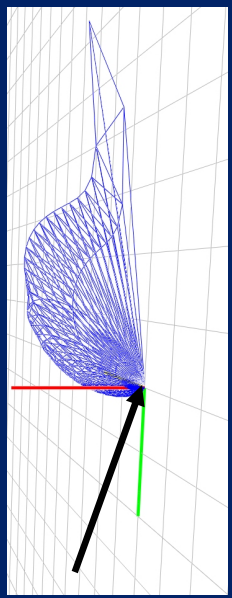
BRDF de Ward avec les mêmes paramètres  
Cache d'éclairage et de luminance – P. Gautron 79  
IRISA Institut universitaire de technologie



Basse fréquence  
“(H)SH-Friendly”

## Représentation Adaptive

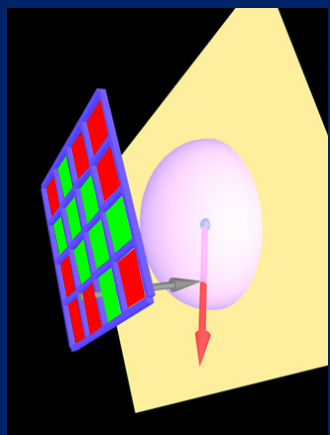
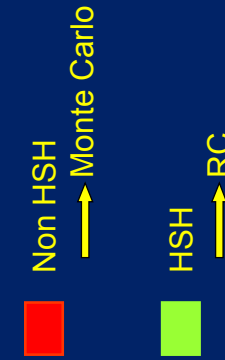
Pourquoi?



Haute Fréquence

Représentation Adaptive  
Comment?

BRDF = Fonction 4D  
→ Paramétrisation parabolique

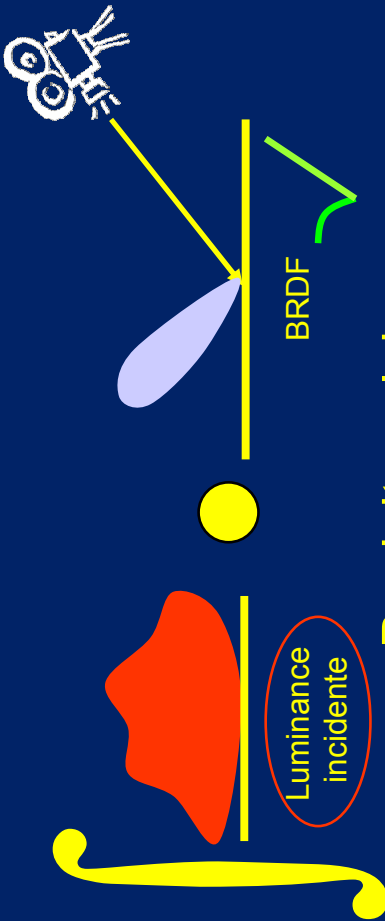


Cache d'éclairage et de luminance – P. Gautron 80  
IRISA Institut universitaire de technologie

BRDF de Ward avec les mêmes paramètres  
Cache d'éclairage et de luminance – P. Gautron 79  
IRISA Institut universitaire de technologie

BRDF de Ward avec les mêmes paramètres  
Cache d'éclairage et de luminance – P. Gautron 81  
IRISA Institut universitaire de technologie

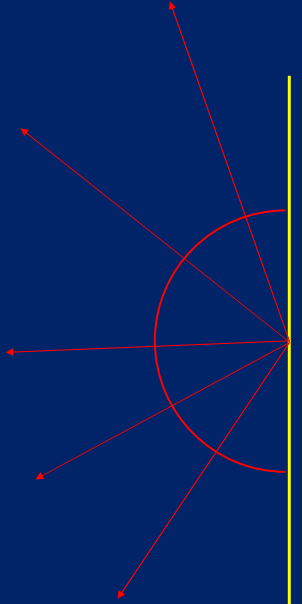
## Radiance Caching



Cache d'éclairage et de luminance – P. Gautron 81  
IRISA Institut universitaire de technologie

## Luminance Incidente

$$\lambda_i^m(P) = \int L_i(P, \omega_i) B_i^m(\omega_i) d\omega_i$$



Échantillonage identique à Irradiance Caching

## Luminance Incidente

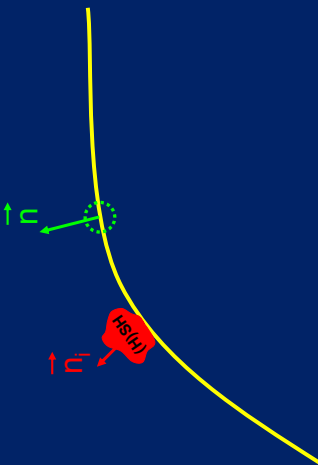
$$\lambda_i^m(P) = \int L_i(P, \omega_i) B_i^m(\omega_i) d\omega_i$$



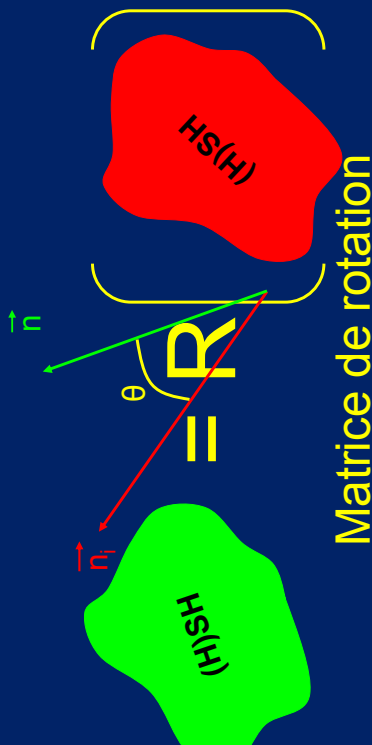
Échantillonage identique à Irradiance Caching

## Luminance Incidente

## Gradient de luminance



## Gradient de rotation



## Matrice de rotation

# Gradient de translation

Sommation des changements comme IC  
Fonction de pondération : ici  $H_l^m = (H)SH$

$$\vec{V}\lambda_l^m = \sum_{k=0}^{N-1} \left[ \hat{u}_k \frac{2\pi}{N} \sum_{j=1}^{M-1} \frac{\cos \theta_{j,-} \sin \theta_{j,-}}{\min\{r_{j,k}, r_{j-1,k}\}} (L_{j,k}^i - L_{j-1,k}^i) H_l^m(\theta_{j,k}, \phi_{j,k}) + \right. \\ \left. \hat{V}_{k,-} \frac{1}{M} \sum_{j=0}^{M-1} \frac{1}{\sin \theta_{j,k} \min\{r_{j,k}, r_{j,k-1}\}} (L_{j,k}^i - L_{j,k-1}^i) H_l^m(\theta_{j,k}, \phi_{j,k}) \right],$$

Changement d'aire

Changement de  
luminance incidente

Cache d'éclairage et de luminance – P. Gautron 86

IRISA

Cache de luminance (Radiance Caching)

Cache d'éclairage (Irradiance Caching)

Quelques images...

Conclusion

Problèmes ouverts

Cache d'éclairage et de luminance – P. Gautron 87

IRISA

# Plan

Méthodes de calcul d'illumination globale

Cache d'éclairage (Irradiance Caching)

Cache de luminance (Radiance Caching)

Quelques images...

Conclusion

Problèmes ouverts

Cache d'éclairage et de luminance – P. Gautron 87

IRISA

# Irradiance Caching



Sibenik Cathedral

Cache d'éclairage et de luminance – P. Gautron 88

IRISA

# Irradiance Caching



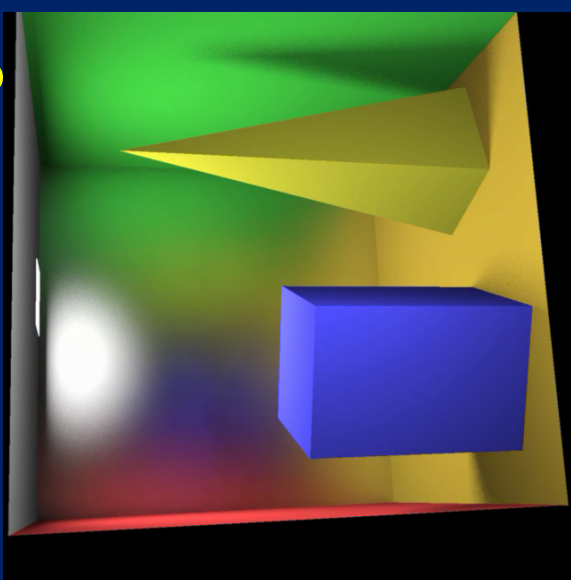
Sponza Atrium

Cache d'éclairage et de luminance – P. Gautron 89

IRISA

# Radiance Caching

# Radiance Caching



Cache d'éclairage et de luminance – P. Gautron 90

IRISA  
Institut de Recherche en Informatique et Systèmes Aléatoires

Monte  
Carlo

Radiance  
Caching



5 min/image

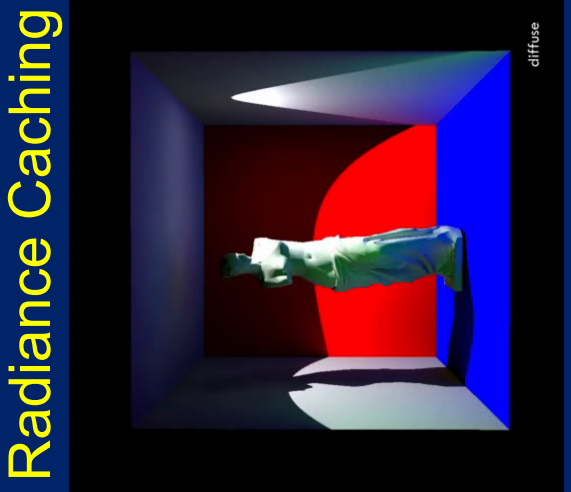


Cache d'éclairage et de luminance – P. Gautron 92

IRISA  
Institut de Recherche en Informatique et Systèmes Aléatoires

# Radiance Caching

# Radiance Caching



diffuse



Cache d'éclairage et de luminance – P. Gautron 93

IRISA  
Institut de Recherche en Informatique et Systèmes Aléatoires

# Plan

Méthodes de calcul d'illumination globale

Cache d'éclaircissement (Irradiance Caching)

Cache de luminance (Radiance Caching)

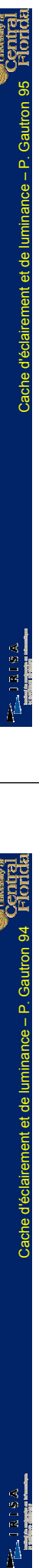
Quelques images...

Conclusion

Problèmes ouverts



Cache d'éclaircissement et de luminance – P. Gautron 94



Cache d'éclaircissement et de luminance – P. Gautron 95

# Conclusion

Méthode d'illumination globale

Basé sur échantillonnage épars et interpolation

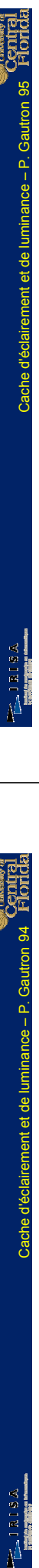
Gradients pour interpolation de plus haut degré

Interréflections diffuses et spéculaires basse fréquence

Haute qualité



Cache d'éclaircissement et de luminance – P. Gautron 96



Cache d'éclaircissement et de luminance – P. Gautron 97

# Problèmes Ouverts

BRDF et fonction de luminance incidente haute fréquence

Réfraction

Diffusion sous surfacique

Scènes avec objets animés



# Un peu de lecture...

A Ray Tracing Solution for Diffuse Interreflection, Ward et al. SIGGRAPH 1988

Irradiance Gradients, Ward et al., EGWR 1992

Radiance Caching for Efficient Global Illumination Computation, Křivánek et al., IEEE TVCG 2005

Improved Radiance Gradients, Křivánek et al., SCCG 2005

Radiance Cache Splatting: A GPU-Friendly Global Illumination Algorithm, Gautron et al., EGSR 2005

A Novel Hemispherical Basis for Accurate and Efficient Rendering, Gautron et al., EGSR 2004

Physically Based Rendering: From Theory to Implementation, Pharr et al., Morgan Kaufmann ed., 2004



Cache d'éclaircissement et de luminance – P. Gautron 96



Cache d'éclaircissement et de luminance – P. Gautron 97



Cache d'éclaircissement et de luminance – P. Gautron 97